#### **———** КРАТКИЕ СООБШЕНИЯ =

УДК 549.1 (470.5)

## РАДИАЦИОННО-ЭПИГЕНЕТИЧЕСКИЕ ИЗМЕНЕНИЯ ПОЛИКРАЗА В ГРАНИТНЫХ ПЕГМАТИТАХ АДУЙСКОГО И ЗЕНКОВСКОГО МАССИВОВ НА СРЕДНЕМ УРАЛЕ

© 2009 г. В. И. Попова

Институт минералогии УрО РАН
456317, г. Миасс Челябинской обл., Ильменский заповедник
Е-mail: popov@mineralogy.ru
Поступила в редакцию 04.03.2009 г.

В гранитах Адуйского и Зенковского массивов изменения метамиктных поликразов из гранитных керамических пегматитов приурочены к микротрещинам. Изменения первичного химического состава поликразов проявлены в выносе U и Ti, сорбции воды, обогащении Y, Ta и Nb изменённых участков и зон кристаллов. Поликраз из жил на севере Адуйского массива содержит больше U и Ti, чем поликраз аляскитов Зенковского массива.

Ключевые слова: поликраз, уранополикраз, эвксенит, изменение, гранитный керамический пегматит, Адуйский и Зенковский гранитные массивы, Средний Урал.

Поликраз и эвксенит впервые были найдены в Норвегии Т. Шерером; эвксенит – в 1840 г., поликраз – в 1844 г. Он же позднее (в 1847 г.) установил их морфологическое сходство, а В. Брёггер в 1906 г. доказал и химическое родство этих минералов [1], т. е. принадлежность их к одному изоморфному ряду. Кроме многочисленных проявлений в гранитных пегматитах Норвегии (более 100), поликраз найден в пегматитах Швеции, США, Канады, Бразилии, Австралии, Японии, России, Казахстана, Китая, Мадагаскара; отмечались находки его и в гранитах, и в щелочных сиенитовых пегматитах [1, 2]. Содержание урана в поликразе составляет 3-17 мас. % UO<sub>2</sub>, в уранополикразе - свыше 27 мас. %, поэтому они метамиктные и обычно содержат воду (1-6 мас. % и более). С периферии и по трещинкам в этих минералах отмечались порошковатые и плотные желтовато-бурые корочки изменения и частично - псевдоморфозы иттриевых эшинита и пирохлора.

На Урале поликраз (Y,Ca,Ce,U,Th)(Ti,Nb,Ta)<sub>2</sub>O<sub>6</sub> известен в лейкократовых и аляскитовых гранитах и пегматитах Адуйского, Соколовского, Зенковского, Карасьевского, Сосновского, Варламовского и Санарского массивов. Повышенные содержания поликраза (до 60–80 г/т) выявлены в средне- и крупнозернистых аляскитах и гранитных пегматитах Среднего Урала [5–7]. В этих статьях В.А. Чащухиной приведены наиболее полные данные об акцессорном поликразе из аляскитов Зенковского массива. В ранних мелкозернистых аляскитах поликраз не обнаружен, а в поздних, среднезернистых – его содержание достигает 62 г/т. Отмечалось, что поликраз встречается в виде уплощённых по (100) призматических кристаллов размером менее мил-

лиметра и зернистых масс пятнистой окраски: первичная чёрная окраска их преобразуется в коричневую (бурую) при изменении состава. Черный поликраз и его бурая разновидность различаются плотностью (5.28 и 4.86 г/см<sup>3</sup>), содержаниями Са, Nb, Y, U [6] и имеют разные формулы (табл. 1): черный (ан. 17) по составу отвечает поликразу –  $(Y_{0.55}U_{0.23})$  $Ca_{0.16}Ce_{0.05}Th_{0.04}Pb_{0.01}Mg_{0.01})_{1.00}(Ti_{1.20}Nb_{0.59}Ta_{0.05}Al_{0.08})_{1.00}$  $Fe_{0.08})_{2.00}O_6$ , а бурый – (ан. 18) –  $(Y_{0.59}Ca_{0.50}U_{0.17}Fe_{0.10}$  $Ce_{0.06}Th_{0.03}Pb_{0.02})_{1.47}(Ti_{1.04}Nb_{0.43}Ta_{0.04}Al_{0.02}Si_{0.01})_{1.54}O_6,$ ближе к формуле самарскита:  $(Y_{0.39}Ca_{0.34}U_{0.11}Fe_{0.06}$  $Ce_{0.04}Th_{0.02}Pb_{0.01})_{0.97}(Ti_{0.69}Nb_{0.29}Ta_{0.02}Al_{0.01})_{1.01}O_4$  (маложелезистый титаносамарскит). Рентгенограммы прокаленных до 1100°C разновидностей минерала различаются главными отражениями [7]: черный – 2.947Å (что более характерно для самарскита) и бурый – 2.985Å (как для эвксенита-поликраза) (можно предположить случайную путаницу проб при рентгеноструктурном анализе). Отмечалось также, что с поверхности зерна поликраза нередко покрыты желтоватым охристым агрегатом рабдофана, ру-

При доизучении минералогии гранитных пегматитов, локализованных в гранитах Адуйского и Зенковского позднеорогенных массивов верхнепалеозойского возраста [4 и др.], в 4-х жилах из 22-х обследованных встречен поликраз-(Y) в ассоциации с ильменорутилом, ильменитом, ферро- и манганоколумбитом, монацитом-(Ce), самарскитом, фергусонитом-(Y), стрюверитом [3]. В Адуйском массиве поликраз исследован из Режевской жилы (в 5 км к ССЗ от пос. Озерный, на левом берегу р. Реж) и жилы Самарскитовой (в 2.5 км к С от пос. Озерный, на ЛЭП-500), локализованных в биотитовых гранитах. В Зенковском массиве,

**Габлица 1.** Состав поликраза-(Y) и эвксенита-(Y) и зон их изменения в гранитных пегматитах Адуйского массива

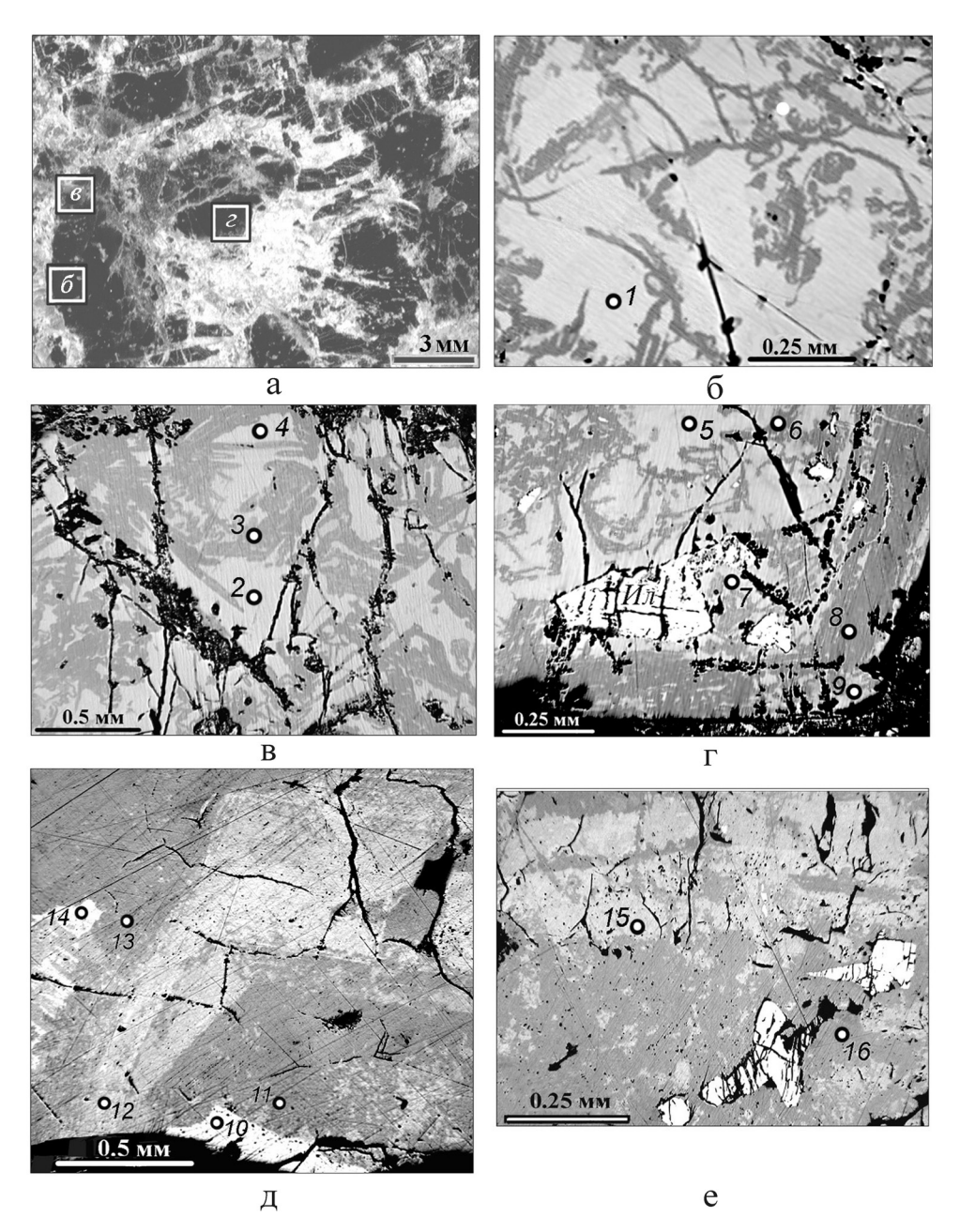
;	H <sub>2</sub> O	1.2	7.5	15.5	3.0	1.0	20.0	7.5	17.0	6.5	0.9	9.5	7.5	10.5	7.0	3.0	13.0	3.0	3.0		H <sub>2</sub> O	0.2	1.6	3.6	9.0	0.2	5.4	1.7	4.1	1.4	1.3	2.1	1.6	2.5	1.5	9.0	3.1	9.0	9.0		9.0	
	Сумма	98.34	92.06	84.32	96.54	98.81	77.95	92.21	82.44	93.08	93.59	90.17	91.92	88.95	92.68	96.58	88.88	96.52	96.42	•	0	6.04	6.07	5.94	6.04	5.96	6.12	6.07	5.85	5.96	00.9	5.89	5.78	5.88	6.02	5.78	5.83	9	9		4	
,	$00_2$	9.75	5.42	8.27	4.73	7.35	5.67	9.52	8.26	7.16	29.65	26.61	17.23	21.29	24.20	21.12	13.70	17.20	13.70		n	0.14	80.0	0.13	0.07	0.10	0.10	0.14	0.13	0.11	0.43	0.39	0.25	0.33	0.37	0.30	0.21	0.23	0.17		0.11	
	$ThO_2$	3.04	09.0	0.82	09.0	09.0	3.63	3.10	0.79	ı	3.72	3.21	3.01	2.40	2.08	3.62	1.07	3.12	2.76	•	Th	0.04	0.01	0.01	0.01	0.01	0.07	0.05	0.01	I	90.0	0.05	0.04	0.04	0.03	0.05	0.02	0.04	0.03		0.02	
0	$SiO_2$	ı	1	ı	ı	ī	1	1	ı	ı	1.79	2.10	I	1.31	1.45	ı	I	ī	0.10		Si	1	I	ı	1	ı	ı	1	ı	ı	0.12	0.14	1	60.0	0.10	1	1	1	0.01		1	
;	$Yb_2O_3$	2.29	1.89	1.65	1.42	2.10	1	1	1.83	2.26	ı	1	2.55	1.57	3.86	1	ı	1	ı	иона)	Yb	0.05	0.04	0.04	0.03	0.04	ı	ı	0.04	0.05	1	ı	0.05	0.03	80.0	ı	ı	ı	1		ı	
%	$Er_2O_3$	1.41	1.34	0.91	0.50	2.07	0.78	1	1.09	1.10	ı	1	1.31	1.51	1.98	1	ı	1	ı	6 (на 3 катиона)	Ē	0.03	0.03	0.02	0.01	0.04	0.02	ı	0.02	0.02	1	ı	0.03	0.03	0.04	ı	I	1	1	2 катиона	1	
Содержание, мас. %	H02O3	1	ı	ı	I	0.91	ı	ı	I	1.03	ı	ı	ı	ı	ı	ı	ı	1	I	мул $AB_2O_0$	Ho	1	ı	ı	ı	0.02	ı	ı	ı	0.02	I	I	1	Ī	ı	ı	1	I	1 1	т АВО₄ (на	1	
Содерж	$Dy_2O_3$	1.33	2.25	1.83	1.60	2.76	1.65	1.04	1.26	2.40	ı	1	2.08	1.09	1.22	1.69	1.33	1	ı	Коэффициенты формул AB <sub>2</sub> C	Dy	0.03	0.05	0.04	0.03	0.05	0.04	0.02	0.03	0.05	1	ı	0.04	0.02	0.03	0.03	0.03	ı	ı	гы формул	1	
	Gd <sub>2</sub> O <sub>3</sub>	0.97	1.59	0.70	69.0	1.37	1.34	0.78	ı	I	ı	1	ı	ı	ı	ı	06.0	1	ı	Коэффици	PS	0.02	0.03	0.02	0.01	0.03	0.04	0.02	ı	ı	1	ı	ı	1	ı	ı	0.02	1	1	Коэффициенты формул		
;	$Y_2O_3$	17.83	20.37	16.85	20.55	22.36	13.24	16.22	18.85	20.57	11.51	10.90	12.57	14.24	11.59	12.67	16.24	17.30	20.10		Y	0.61	69.0	0.63	0.72	0.72	0.58	0.59	0.71	0.73	0.40	0.39	0.44	0.53	0.42	0.43	09.0	0.55	0.59	Ko	0.39	
0	Fe <sub>2</sub> O <sub>3</sub>	1.05	1	0.58	0.50	ı	0.41	0.07	ı	ı	2.02	1.40	1.42	1.72	1.04	2.84	3.72	1.80	2.30		Fe	0.05	0.14	0.03	0.02	ı	0.03	ı	-	1	0.10	0.07	0.15	0.09	0.05	0.14	0.20	80.0	0.10		90.0	
0	CaO	0.70	2.08	1.48	1.03	0.37	1.15	1.69	1.58	0.67	ı	1.78	3.04	1.84	ı	3.95	1.85	2.50	8.50		Ca	0.05	0.14	0.11	0.07	0.02	0.10	0.12	0.12	0.05	1	0.13	0.21	0.14	ı	0.27	0.14	0.16	0.50		0.34	
	Ta <sub>2</sub> O <sub>5</sub>	14.44	10.01	7.72	24.66	6.77	13.18	14.03	7.82	14.59	ı	1.91	ı	3.01	2.58	9.49	13.03	2.90	2.40	•	Ta	0.25	0.18	0.15	0.44	0.11	0.29	0.26	0.15	0.26	1	0.03	1	90.0	0.05	0.17	0.25	0.05	0.04		0.02	
;	Nb <sub>2</sub> O <sub>5</sub>	23.75	24.22	22.72	20.47	27.91	22.05	25.43	20.36	21.98	16.69	15.72	24.54	19.58	17.71	19.49	16.15	21.70	17.30	-	qN	69.0	0.70	0.72	0.61	92.0	0.82	0.79	99.0	0.64	0.50	0.47	0.72	0.62	0.56	0.56	0.54	0.59	0.43		0.29	
0	1102	21.78	21.69	20.77	19.79	24.24	14.85	19.44	20.60	21.32	28.21	26.54	21.77	19.39	24.97	21.71	18.89	26.70	25.00		Ti	1.05	1.04	1.10	86.0	1.10	0.92	1.00	1.11	1.07	9	1.33	1.07	1.02	1.28	1.04	0.99	1.20			69.0	
Ñ	ан.	_	7	т	4	5	9		∞	6	10	=	12	13	14	15	16	17*	18*		I	_	7	ж	4	5	9	7	∞	6	10	Π	12	13	14	15	16	17*	*81		18*	

Примечание. 1, 5, 15, 17 — поликраз черный; 2, 9, 12-14 — поликраз черно-коричневый, гидратированный; 3, 8, 16 — поликраз желто-коричневый, интенсивно гидратированный; 4 — эвксенит коричневый (зона в поликразе); 6, 7 — эвксенит желто-коричневый, гидратированный.

В зеленовато-коричневый, гидратированный.

Минералы из жил: 1−9 — Береговая (рис. 1), 10−14 — Режевская (рис. 1 д.), 15−16 — Самарскитовая (рис. 1 е.). Микрозонд ЈХА-733, аналитик Е. И. Чурин, ИМин УрО РАН. Н₂О — расчетная. Стандарты: ильменит, колумбит, ортоклаз, хлорапатит, GdP₂O₁4, ТR, Y₂O3, ThO₂, UO₂. Анализы 17\*−18\* — из среднезернистых аляскитов Зенковского массива [7]: пересчет наш]; в сумме анализов РЬО 0.7 и 1.1, A1₂O3 0.4 и 0.3, MgO 0.1 и 0.0, TRCeg 2.10 и 2.86, Y₂O3 включает ТRYg (микрозонд ЈХА-5, аналитик В. А. Вилисов). Прочерк — не обнаружено.

92 ПОПОВА

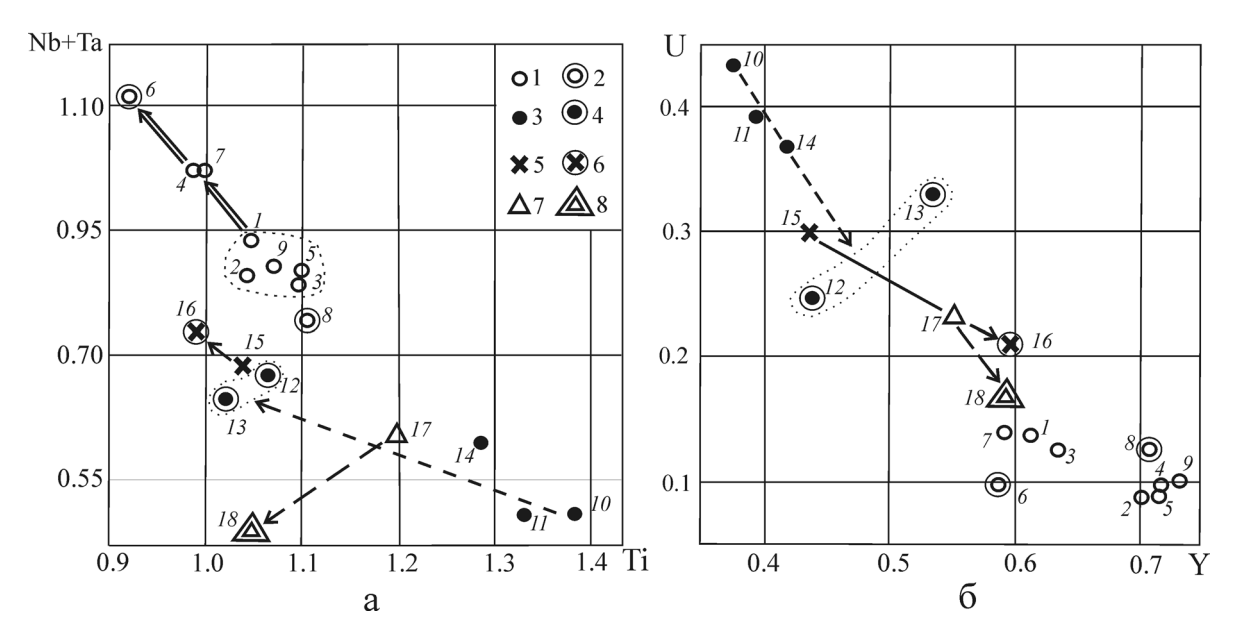


**Рис. 1.** Форма зерен поликраза-(*Y*) в гранитном пегматите жилы Береговой (а), неоднородность их изменения (б–г) и унаследованность первичной зональности при изменении поликраза-(*Y*) жил Режевской (д) и Самарскитовой (е).

Темное — участки и зоны более интенсивно измененные, белые вростки — ферроколумбит. Цифры — номера анализов в таблице, Ил — ильменит.

по составу сходном с поздними лейкократовыми гранитами Адуйского массива, изучены поликразы из жилы Береговой (в 8 км к СЗ от г. Заречный, на СВ берегу Белоярского вдхр.). Зерна поликраза величиной до 5 мм обычно сложной формы (рис. 1а) вследствие сокристаллизации с соседними минералами, и лишь изредка встречаются отдельные участки собственных граней на удлиненных зернах (идеальные кристаллы, вероятно, были бы толстотаблитчатыми). Черная и коричнево-черная окраска

поликраза сохранилась в отдельных участках среди коричневой с желто-зеленовато-коричневыми пятнами и зонами, которые хорошо видны под микроскопом в отраженном свете (рис. 16–е): макроскопически темноокрашенные участки (на фото светлые) имеют отражение 14–16% по сравнению со светлоокрашенными (8–10% и менее; на фото более темные). Распределение желто- и зеленовато-коричневых участков изменения подчиняется ранней микротрещиноватости поликраза и, реже, под-



**Рис. 2.** Вариации состава (в форм. ед.) на диаграммах Nb+Ta-Ti (а) и U-Y (б) поликразов разной степени изменения.

Цифры у точек – номера анализов (табл.), линии со стрелками – тренды изменения состава.

1, 2 – жила Береговая, 3, 4 – жила Режевская, 5, 6 – жила Самарскитовая, 7, 8 – акцессорный поликраз-(Y) из аляскитов Зенковского массива. Пунктиром обведены наиболее измененные разности.

черкивает первичные зоны роста кристаллов (рис. 1в, д). Состав разных участков и зон поликраза из этих жил определен на микроанализаторе JXA-733 Geol Superprobe с энергодисперсионной приставкой INCA (табл.). Содержание воды рассчитано по дефициту суммы с определением потери при прокаливании весовым методом; для поликразов жилы Береговой — с последующим рентгеноструктурным анализом минерала.

В составе поликразов разных пегматитовых жил отчётливо проявлена обратная зависимость концентраций Nb + Ta-Ti (рис. 2a) и Y-U (рис. 2б). В жиле Режевской (северной), локализованной в биотитовых гранитах Адуйского массива, поликраз богат Ті и U и беден Та (до уранополикраза в некоторых зонах кристаллов – табл., ан. 10, 11); в существенно измененных участках содержания Ti и U – ниже. Поликраз жилы Самарскитовой (в 4.5 км к ЮЗ от Режевской, также в биотитовых гранитах) содержит ещё меньше Ті и U с той же тенденцией их выноса в участках изменения; в одном из зерен поликраза центральную черную зону его слагает самарскит-(Y) с содержанием 6.48 мас. % TiO<sub>2</sub> и 9.16 мас. % FeO [3], что указывает на близость структур этих минералов. Зерна поликраза жилы Береговой среди аляскитовых гранитов Зенковского массива относительно обеднены Ті и U и обогащены Та; наиболее изменённая разность его по составу приближается к эвксениту (табл., ан. 6). Акцессорный черный поликраз из аляскитов Зенковского массива содержит больше Ті и U и существенно меньше Та; тренд Nb

+ Та-Ті его резко отличается от поликраза пегматитовой жилы Береговой в этом аляските.

В зернах измененного поликраза проявлена унаследованность первичной неоднородности состава. В участках однотипного слабого изменения от внутренних зон к внешним несколько увеличиваются содержания Та и Y (рис. 1, 2, табл. 1); в участках более интенсивного изменения эта тенденция нарушается до обратной. По результатам анализов можно предполагать, что в малоизмененном поликразе U и Fe менее окислены, а в интенсивно изменённом преобладают  $U^{6+}$  и  $Fe^{3+}$ ; зона в коричневом кристалле поликраза жилы Режевской (рис. 1д, зона с анализом 12) люминесцирует желтовато-зеленоватым цветом, что характерно для соединений с уранильной группой  $(UO_2)^{2+}$ .

Главные отражения дифрактограммы тёмнокоричневого поликраза жилы Береговой, прокаленного при  $1000^{\circ}$ С (d, Å; I, hkl): 2.984 (100) (131); 1.828 (22) (260); 2.591 (18) (002, 220); 1.727 (17) (311, 330); 2.423 (16) (060, 201); 3.658 (11) (130, 040); 2.776 (9) (200), — близки эвксениту-поликразу (ДРОН-2.0, СиК $_a$ , оператор Т. М. Рябухина). Параметры элементарной ячейки поликраза составили (Å): a 5.55  $\pm$  0.01; b 14.54  $\pm$  0.01; c 5.18  $\pm$  0.01.

Четкой зависимости содержаний урана, степени метамиктности и содержания воды в поликразах не выявлено, но в наименее измененных чернокоричневых участках зерен поликраза жилы Береговой расчетное содержание  $H_2O$  около 1-1.2 мас. %, а в сильно измененных желто-коричневых -10-20

94 ПОПОВА

мас. % (табл.). Расчетное содержание воды для неоднородных зерен поликраза этой жилы в среднем 8.8 мас. % и сопоставимо с потерей при прокаливании 8.70 мас. % этих зерен (аналитик М. Н. Маляренок, ИМин УрО РАН). В жилах Режевской и Самарскитовой, где в поликразах 14–21 мас. % UO<sub>2</sub> (и до 27–30 в уранополикразе), содержание воды – 3–13 мас. %.

Выявленные эпигенетические изменения поликраза гранитных керамических пегматитов в гранитах Адуйского и Зенковского массивов обусловлены метамиктизацией структуры минералов сложного состава под воздействием радиационного излучения урана и последующей сорбции воды. При этом разные по составу зоны кристаллов претерпели несколько различные изменения, приуроченые к микротрещинам. Изменения первичного химического состава исследованных поликразов и зон эвксенита в них наиболее ярко проявлены в выносе U и Ті и сорбции воды, обогащении измененных участков и зон Y, Та и Nb. Поликразы из жил северной части Адуйского массива содержат больше U и Ті по сравнению с поликразом из более позднего Зенковского массива. В пегматитах Зенковского массива поликраз богаче Та и беднее U и Ті, чем в аляскитах.

#### СПИСОК ЛИТЕРАТУРЫ

- 1. Дэна Джс.Д., Дэна Э.С., Пэлач Ч. и др. Система минералогии. Т. 1(2). Окислы и гидроокислы / Перев. с англ. под ред. Д.П. Григорьева. М.: И.Л., 1951. 419 с.
- 2. Минералы: Справочник. Т. 2. Вып. 3. Сложные окислы, титанаты, ниобаты, танталаты, антимонаты, гидроокислы. М.: Наука, 1967. 675 с.
- 3. Попова В.И., Губин В.А. Минералогия гранитных керамических пегматитов Адуйского, Соколовского и Зенковского массивов на Среднем Урале // Уральский минералогический сборник № 15. Миасс–Екатеринбург: УрО РАН, 2008. С. 61–74.
- 4. Ферштатер Г.Б., Бородина Н.С., Рапопорт М.С. и др. Орогенный гранитоидный магматизм Урала. Миасс: ИГГ УрО РАН, 1994. 250 с.
- Чащухина В.А. Акцессорные минералы гранитоидов Мурзинско-Адуйского плутона // Вопросы петрологии и геохимии Урала. Свердловск: УНЦ АН СССР, 1975. С. 51–58.
- 6. *Чащухина В.А.* Акцессорный поликраз из гранитов Урала // Минералы месторождений Урала. Свердловск: УНЦ АН СССР, 1987. С. 65–67
- 7. *Чащухина В.А., Поляков В.О.* Поликраз // Минералогия Урала. Оксиды и гидроксиды. Ч. 1. Миасс-Екатеринбург: УрО РАН, 2000. С. 139–141.

Рецензент Э.М. Спиридонов

# Radiation-epigenetic alterations of polycrase in the granitic pegmatites of Aduy and Zenkov massifs (Middle Urals)

### V. I. Popova

Institute of Mineralogy, Urals Branch of RAS

In the granitic ceramic pegmatites of the Aduy and Zenkov massifs the alterations of metamict polycrase settle down to micro-cracks. Alterations of polycrase original chemical composition are showed in the extract of U and Ti (by water adsorbtion), enrichment of Y, Ta, and Nb in the changed crystals parts and zones. Polycrase of the veins in north Aduy massif contain more U and Ti than ones from the alaskite in Zenkov massif.

Key words: polycrase, uranopolycrase, euxenite, alteration, granitic ceramic pegmatite, Aduy and Zenkov granitic massifs, Middle Urals.